

О КИНЕТИКЕ ОКИСЛЕНИЯ АЗОТА В ПРЯМОЙ УДАРНОЙ ВОЛНЕ

Ю. С. Саясов

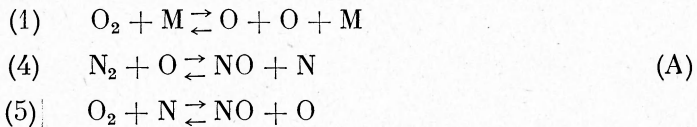
(Москва)

Исследуется кинетика окисления азота в прямой ударной волне на основе предположения о квазистационарном характере изменения концентрации атомов азота. Используются приближенные методы интегрирования систем кинетических уравнений, позволяющие получить простые формулы для газодинамических параметров, а также концентраций всех веществ, участвующих в реакции, за фронтом волны.

§ 1. Будем предполагать, что температура T_2 за фронтом волны достаточно низка, и сделаем ряд допущений, облегчающих решение задачи:

1°. Возбуждение колебательных степеней свободы молекул происходит равновесным образом. Как показывают вычисления [1], это допущение выполняется при $T_2 < 10000^\circ\text{K}$, что и определяет верхнюю границу рассматриваемых здесь температур.

2°. Совокупность элементарных превращений описывается схемой Я. Б. Зельдовича [2], т. е. сводится к реакциям (их нумерация и константы скорости заимствованы из работы [1])



$$\begin{aligned} k_1 &= 10^{-8} \exp(-59/\vartheta) \text{ см}^3/\text{сек}, & k_1' &= 10^{-33} \text{ см}^6/\text{сек} \\ k_4 &= 10^{-10} \exp(-38/\vartheta) \text{ см}^3/\text{сек}, & k_2' &= 2 \cdot 10^{-11} \text{ см}^3/\text{сек} \\ k_5 &= 2 \cdot 10^{-11} \exp(-3/\vartheta) \text{ см}^3/\text{сек}, & k_5' &= 2 \cdot 10^{-12} \exp(-19/\vartheta) \text{ см}^3/\text{сек} \end{aligned}$$

Здесь ϑ — температура, выраженная в единицах 1000°K , т. е. $\vartheta = T/1000^\circ\text{K}$.

Это допущение также хорошо подтверждается вычислениями [1]. Будем предполагать, что средний молекулярный вес смеси $\mu = \rho/n$ ($\rho^2/\text{см}^3$ — массовая плотность, n — полное число частиц на см^3) постоян¹. Воспользуемся сохранением потока ρv вдоль линии тока за фронтом ударной волны (v — скорость газа вдоль линии тока); тогда систему кинетических уравнений, отвечающих схеме A, можно представить в виде

$$\begin{aligned} \frac{d\alpha_0}{dt} &= 2\{1\} + \{5\} - \{4\}, & \frac{d\alpha_{\text{NO}}}{dt} &= \{4\} + \{5\} & \left(t = \int_0^s \frac{ds}{v} \right) \\ \frac{d\alpha_{\text{N}}}{dt} &= \{4\} - \{5\}, & \frac{d\alpha_{\text{O}_2}}{dt} &= -\{1\} - \{5\}, & \frac{d\alpha_{\text{N}_2}}{dt} &= -\{4\} \end{aligned} \quad (1.1)$$

Здесь α_0 , α_{N} , α_{NO} , α_{O_2} , α_{N_2} — относительные концентрации соответствующих компонент, t — время, s — координата вдоль линии тока; сим-

¹ Учет переменности μ был бы превышением точности так как константы скоростей определены весьма грубо.

вол { } здесь и в дальнейшем определяет баланс соответствующих реакций

$$\{1\} = k_1 n \alpha_{O_2} - k_1' n^2 \alpha_O^2, \quad \{4\} = k_4 n \alpha_{N_2} \alpha_O - k_4' n \alpha_{NO} \alpha_N$$

$$\{5\} = k_5 n \alpha_{O_2} \alpha_N - k_5' n \alpha_{NO} \alpha_O$$

Отметим, что система (1.1) содержит два очевидных закона сохранения

$$2\alpha_{O_2} + \alpha_O + \alpha_{NO} = 2(\alpha_{O_2})_0, \quad 2\alpha_{N_2} + \alpha_N + \alpha_{NO} = 2(\alpha_{N_2})_0 \quad (1.2)$$

где $(\alpha_{O_2})_0 = 0.21$, $(\alpha_{N_2})_0 = 0.79$ начальные концентрации O_2 и N_2 за фронтом, т. е. при $t = 0$; начальные концентрации α_N , α_O , α_{NO} равны нулю.

3°. Концентрация атомов N изменяется квазистационарным образом. Это — основное для дальнейшего допущение — позволяет в системе (1.1) положить $d\alpha_N/dt = 0$. Отсюда следует

$$\frac{\alpha_N}{\alpha_O} = \frac{k_4 \alpha_{N_2} + k_5' \alpha_{NO}}{k_5 \alpha_{O_2} + k_4' \alpha_{NO}} \quad (1.3)$$

Как известно [3,4], условием применимости метода квазистационарных концентраций в рассматриваемом случае будет неравенство $\alpha_N/\alpha_O \ll 1$, хорошо выполняющееся до температур $T_2 \leq 10000^\circ K$.

Замечание. Согласно новым измерениям ([*], стр. 249), константа k_5 на порядок больше принятой в работе [1], а также в данной статье, а именно:

$$k_5 = 2 \cdot 10^{-12} T^{1/2} \exp(-3120/T)$$

Поэтому предположение о квазистационарном характере изменения концентрации N ($d\alpha_N/dt = 0$), а следовательно, и развитая здесь теория справедливы на самом деле при температурах, значительно больших $10000^\circ K$.

При помощи (1.3) система (1.1) сводится к двум уравнениям

$$\frac{d\alpha_O}{dt} = 2k_1 n \alpha_O^2 - 2k_1' n^2 \alpha_O^2 \quad (1.4)$$

$$\frac{d\alpha_{NO}}{dt} = \frac{2k_4 n \alpha_{N_2} \alpha_O (\alpha_{NO}^{X^2} - \alpha_{NO}^2)}{\alpha_{NO}^{X^2} [1 + (k_4'/k_5)(\alpha_{NO}/\alpha_{O_2})]} \quad (1.5)$$

Величина

$$\alpha_{NO}^{X^2} = \sqrt{\frac{k_5 k_4}{k_5' k_4'} \alpha_{O_2} \alpha_{N_2}} = 4.5 \exp(-11/\vartheta) \sqrt{\alpha_{O_2} \alpha_{N_2}}$$

имеет смысл равновесной концентрации NO, отвечающей данной неравновесной температуре ϑ .

Уравнение (1.5) аналогично уравнению, использовавшемуся в работе [2], в которой предположение о квазистационарности принималось как для атомов N, так и для атомов O, в соответствии с чем α_O определялось из равенства

$$d\alpha_O/dt = 2k_1 n \alpha_{O_2} - 2k_1' n^2 \alpha_O^2 = 0$$

В рассматриваемых условиях концентрацию O вообще говоря нельзя считать квазистационарной, т. к. при достаточно высоких температурах время приближения к равновесию для O превосходит соответствующую величину для NO.

Система уравнений (1.4), (1.5) должна быть дополнена уравнением сохранения суммы энталпии и кинетической энергии на единицу массы вдоль линии тока, т. е.

$$\frac{\mu v^2}{2} + \sum_i \alpha_i (c_{pi} T - \varepsilon_i) = \frac{\mu v_1^2}{2} + \sum_i^n \alpha_{i1} (c_{pi} T_1 - \varepsilon_i) \quad (1.6)$$

(здесь и в дальнейшем индексы 1 и 2 определяют величины соответственно до и непосредственно за фронтом волны), c_{pi} — теплопроводность на единицу частицы, ε_i — энергии диссоциации двухатомных молекул ($\varepsilon_{O_2} = 5.1 \text{ эз}$,

$\varepsilon_{N_2} = 9.8 \text{ эв}$, $\varepsilon_{NO} = 6.5 \text{ эв}$); для двухатомных молекул принимаем за фронтом волны $c_p = 9k/2$, где k — постоянная Больцмана; для смеси $O_2 + N_2$ это справедливо при $T \geq 1000^\circ K$ (см. [5], стр. 167).

На основании (1.6), пользуясь (1.2) и принимая $T_2/T_1 \gg 1$, находим

$$T = \frac{\frac{1}{2}\mu(v_1^2 - v) - \frac{1}{2}\varepsilon_{O_2}\alpha_O - \frac{1}{2}\varepsilon_{N_2}\alpha_N - [\frac{1}{2}(\varepsilon_{O_2} + \varepsilon_{N_2}) - \varepsilon_{NO}]\alpha_{NO}}{\frac{9}{2}k + \frac{1}{4}(\alpha_O + \alpha_N)k}$$

В знаменателе этого выражения можно пренебречь членом $\frac{1}{2}(\alpha_O + \alpha_N)k$, т. к. в рассматриваемых условиях величина $\alpha_O + \alpha_N$ не превышает 0.4. Таким образом имеем

$$T = \frac{\mu}{9k}(v_1^2 - v^2) - 6500^\circ K \alpha_O - 12600^\circ K \alpha_N - 2500^\circ K \alpha_{NO} \quad (1.7)$$

Присоединим к (1.7) уравнения $\rho v = \text{const}$, $p + \rho v^2 = \text{const}$ (p — давление), справедливые вдоль линий тока за фронтом волны. Из этой системы трех уравнений величины n , T , v выражаются как функции α_O , α_{NO} , α_N следующим образом

$$v = v_2(1 + \xi), \quad T = T_2\left(1 - \frac{2\xi + \xi^2}{s^2 - 1} - \sigma\right), \quad n = \frac{n_2}{1 + \xi} \quad (1.8)$$

Здесь

$$\begin{aligned} T_2 &= \frac{\mu}{9k}(v_1^2 - v_2^2), & \sigma &= \frac{1}{T_2}(6500\alpha_O + 12600\alpha_N + 2500\alpha_{NO}) \\ \xi &= \frac{s^2 - s_m^2 - \sqrt{(s^2 - s_m^2) + 4s_m^2(s^2 - 1)\sigma}}{2s_m^2}, & s &= \frac{v_1}{v_2}, & s_m &= \frac{\gamma + 1}{\gamma - 1} - 8 \end{aligned}$$

В соответствии с предположением о мгновенном установлении равновесного распределения по колебательным степеням свободы за фронтом волны следует принять $\gamma = c_p/c_v = 9/7$. Поскольку $s \gg s_m$, то имеем

$$4s_m^2(s^2 - 1)\sigma \ll (s^2 - s_m^2)^2$$

и, следовательно, из (1.8) вытекает

$$n = \frac{n_2}{1 - \sigma}, \quad v = v_2(1 - \sigma) \quad (1.9)$$

так что

$$p = nkT = n_2 k T_2 = \text{const}$$

В рассматриваемых условиях концентрация α_{NO} всегда оказывается малой ($\alpha_{NO} \lesssim 0.05$). Это позволяет пренебречь членом $2500\alpha_{NO}$ в уравнении (1.8), т. е. $\sigma = (6500\alpha_O + 12600\alpha_N)/T_2$. В дальнейшем используется также предположение о постоянстве концентрации $\alpha_{N_2} \approx (\alpha_{N_2})_0$ и полной плотности ρ , поскольку при $T_2 \leq 10000^\circ K$ молекулярный азот диссоциирован слабо, а относительное изменение температуры σ во всех случаях оказывается сравнительно малым.

§ 2. Рассмотрим сначала на основе уравнений (1.4), (1.5) простейший случай постоянных температуры и плотности, для которого все коэффициенты в этих уравнениях можно считать постоянными. Согласно (1.8) для этого достаточно потребовать $59\sigma/\vartheta_2^2 < 1$, что практически выполняется при $T_2 < 3000^\circ$ и давлении $p_2 > 1 \text{ атм}$. Интегрирование уравнений (1.4), (1.5) в этом случае приводит к формулам

$$\alpha_O = \alpha_O^0 \frac{\exp(2t/\tau_O) - 1}{\exp(2t/\tau_O) + 1} \quad (2.1)$$

$$\alpha_{NO} = \alpha_{NO}^0 \frac{[\operatorname{ch}(t/\tau_O)]^{2y} - 1}{[\operatorname{ch}(t/\tau_O)]^{2y} + 1} \quad (2.2)$$

Здесь τ_0 — время приближения к равновесию для атомов О

$$\tau_0 = \frac{1}{2\sqrt{k_1 k_1' n^3 \alpha_{O_2}}} \approx 1.5 \cdot 10^{20} \frac{e^{30/\vartheta}}{\sqrt{n^3 \alpha_{O_2}}} \quad (2.3)$$

$$v = 2k_4 n \alpha_{N_2} \frac{\alpha_O^\times}{\alpha_{NO}^\times} \tau_0 = 2 \cdot 10^{22} \frac{1}{n} \sqrt{\frac{\alpha_{N_2}}{\alpha_{O_2}}} \exp(-27/\vartheta)$$

Из (2.2) вытекает

$$\alpha_{NO} = \alpha_{NO}^\times \frac{1}{2} v \left(\frac{t}{\tau_0} \right)^2 \quad \text{при } \frac{t}{\tau_0} < 1 \quad (2.4)$$

Это совпадает с формулой $\alpha_{NO} = 2k_1 k_1' n^2 \alpha_{O_2} \alpha_{N_2} t^2$ выведенной в [1] стр. 1025. В другом предельном случае (2.1) имеет вид

$$\alpha_{NO} = \alpha_{NO}^\times \frac{1 - 2^{2v} \exp(-2vt/\tau_0)}{1 + 2^{2v} \exp(-2vt/\tau_0)} \quad \text{при } \frac{t}{\tau_0} > 1 \quad (2.5)$$

Согласно (2.5) величину τ_0 / v естественно определить как время приближения к стационарности для NO, т. е.

$$\tau_{NO} = \frac{\alpha_{NO}^\times}{2k_4 n \alpha_{N_2} \alpha_O^\times} = 10^{-2} \frac{\exp(57/\vartheta)}{\sqrt{n \alpha_{N_2}}} \quad (2.6)$$

Из (2.6) вытекает, что τ_{NO} очень быстро возрастает с убыванием температуры. Это обстоятельство уже отмечалось ранее в [6].

Формула (2.2) хорошо согласуется с результатами численных расчетов, проведенных в [1] для смеси 80% аргона и 20% воздуха при $T_2 = 3000^\circ\text{K}$ и $p_2 = 20 \text{ atm}$.

Интересно отметить, что в случае ударной волны в воздухе при рассматриваемых здесь сравнительно низких температурах с реакцией $\text{O} + \text{N}_2 \rightarrow \text{NO} + \text{N}$ может конкурировать реакция О с примесью H_2 , т. е. реакция $\text{O} + \text{H}_2 \rightarrow \text{OH} + \text{H}$. Действительно, согласно [7] константа этой реакции есть $10^{-10} \exp(-6/\vartheta) \text{ см}^3/\text{сек}$. Поэтому отношение скоростей реакций при концентрации H_2 порядка 10^{-5} равно

$$\exp(32/\vartheta) \frac{\alpha_{H_2}}{\alpha_{N_2}} \approx 10^{-5} \exp(32/\vartheta) \sim 1 \quad (\vartheta = 3)$$

Это обстоятельство, как легко показать, не приводит к изменению формул (2.1), (2.2) для α_O , α_{NO} , однако обуславливает переход водорода в гидроксили непосредственно за фронтом ударной волны.

§ 3. Рассмотрим теперь область более высоких температур, для которых следует учитывать переменность T в соответствии с (1.9). Изучим сначала на основании уравнения (1.5) распределение концентраций NO. Из (1.5) следует, что α_{NO} имеет максимум, причем в точке максимума $\alpha_{NO} = \alpha_{NO}^\times$, т. е. концентрация α_{NO} равна величине, определенной из равновесия $\text{O}_2 + \text{N}_2 \rightleftharpoons 2\text{NO}$ при данной неравновесной температуре. Легко показать, что α_{NO} близко к α_{NO}^\times не только вблизи максимума, но и вообще в основной стадии процесса. Действительно, положим $\alpha_{NO} = \alpha_{NO}^\times + x$ и разложим (1.5) по степеням x . Пренебрегая в левой части (1.5) производной dx/dt по сравнению с $d\alpha_{NO}^\times/dt$, а в правой части оставляя лишь члены первой степени по x , находим

$$\frac{x}{\alpha_{NO}^\times} = -\frac{1}{2} \tau_{NO} \left(1 + \frac{k_4 \alpha_{NO}^\times}{k_5 \alpha_{O_2}} \right) \frac{d \ln \alpha_{NO}^\times}{dt} \quad \left(\tau_{NO} = \frac{\alpha_{NO}^\times}{2k_4 n \alpha_{N_2} \alpha_O} \right) \quad (3.1)$$

Здесь τ_{NO} имеет смысл времени установления равновесия для NO (см. (2.6)). Из (3.1) вытекает, что $x/\alpha_{NO}^\times < 1$ при $t > \tau_{NO}$ и, следовательно,

$$\alpha_{NO} \approx \alpha_{NO}^\times = 4 \sqrt{\alpha_O} \exp(-11/\vartheta) \quad \text{при } t > \tau_{NO}$$

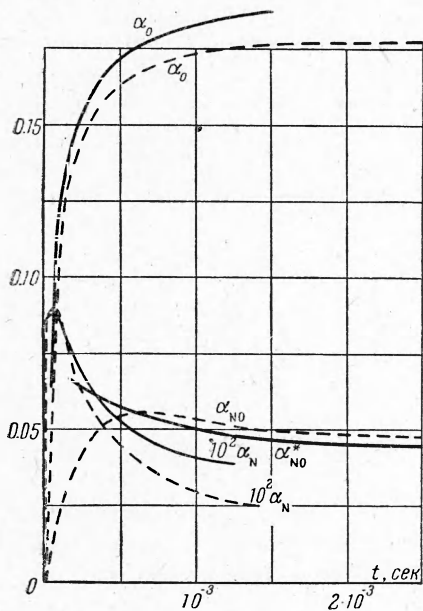
При рассматриваемых температурах $\tau_{NO} \ll \tau_0$, а $d \ln \alpha_{NO}^x / dt \sim 1/\tau_0$. Поэтому последняя формула справедлива в основной стадии процесса окисления азота за фронтом волны.

При исследовании температурного распределения примем сначала, что диссоциация азота вообще несущественна, т. е. что (1.8) можно переписать в виде $\vartheta = \vartheta_2 - 6.5 \alpha_0$.

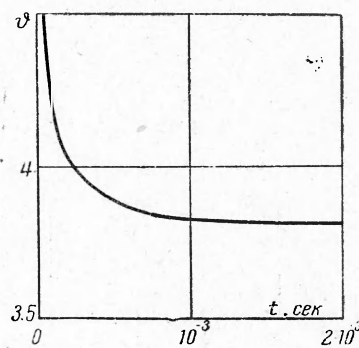
Пользуясь этим определением и преобразуя экспоненту в k_1 по формуле

$$\exp(-59/\vartheta) \approx \exp(-59/\vartheta_2 - b\alpha_0)$$

$$b = 59 \cdot 6.5 / \vartheta_2^2 = 380 / \vartheta_2^2$$



Фиг. 1



Фиг. 2

Фиг. 1. Распределения концентраций α_0 , α_N , α_{NO} за фронтом волны, рассчитанные соответственно по формулам (3.2), (3.4). $\alpha_{NO} = \alpha_{NO}^x$ при $T_2 = 5000^\circ K$, $T_1 = 300^\circ K$, $p_1 = 1 mm$. Пунктирные кривые заимствованы из [1]

Фиг. 2. Распределения температур за фронтом волны при $T_2 = 5000^\circ K$, $T_1 = 300^\circ K$, $p_1 = 1 mm$, найденные по формулам $\vartheta = \vartheta_2 - 6.5 \alpha_0$ и (3.2)

можно переписать уравнение (1.4) для начальной стадии процесса, когда $k_1 n \alpha_{O_2} \gg k'_1 n^2 \alpha_0^2$ в виде

$$\frac{d\alpha_O}{dt} = 2k_{10}n_2 \exp(-b\alpha_0) ((\alpha_{O_2})_0 - \alpha_0/2), \quad k_{10} = 10^{-8} \exp(-59/\vartheta_2)$$

Его интегрирование приводит к формуле¹

$$t = \frac{1}{k_{10}n_2} \exp(2b(\alpha_{O_2})_0) [\text{Ei}(-2b\alpha_{O_2}) - \text{Ei}(-2b(\alpha_{O_2})_0)] \quad (3.2)$$

Здесь

$$\text{Ei}(-x) = \int_x^{\infty} \frac{e^{-x}}{x} dx, \quad \alpha_{O_2} = (\alpha_{O_2})_0 - \alpha_0/2$$

Пример расчета по этой формуле и сопоставление с результатами [1] для $\vartheta_2 = 5$, $p_1 = 1 mm$, $T_1 = 300^\circ K$ приведен на фиг. 1,2.

Выясним теперь закон приближения α_0 к равновесной величине α_0^x , определенной формулой $k_1 n \alpha_{O_2} = k'_1 n^2 \alpha_0^2$. Вводя величину $\xi = \alpha_0^x - \alpha_0$ и разлагая уравнение (1.4) в ряд по степеням ξ , получим

$$\frac{d\xi}{dt} = -\frac{1}{\tau_0} \xi$$

¹ Аналогичная формула была выведена ранее в работе [8].

т. е.

$$\tau_0 = 1 / V k_1^x k_1' n_2^3 \alpha_{O_2}^x [1 + \alpha_0^x (1 - 2b\alpha_{O_2}^x)] \quad (3.3)$$

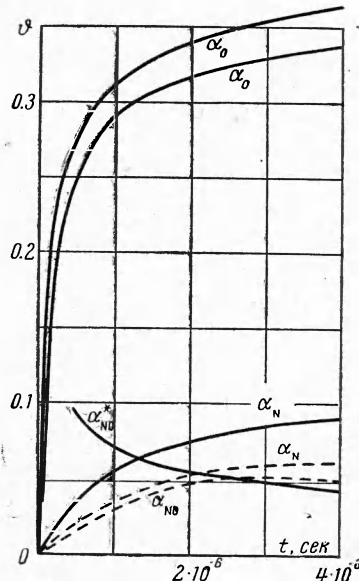
где величины k_1^x , $\alpha_{O_2}^x$, α_0^x отвечают равновесным значениям ϑ . Величину τ_0 , определяемую (3.3), естественно считать временем установления химического равновесия для рассматриваемой системы. Следует подчеркнуть, что τ_0 весьма сильно возрастает с убыванием давления перед фронтом и при низких p_1 может быть очень большой. Например, при $p_1 = 0.1 \text{ mm}$, $T_2 = 5000^\circ \text{K}$, $\tau_0 \sim 1 \text{ сек}$. Поэтому при достаточно низких давлениях процессы химической релаксации при обтекании конечных тел вообще несущественны.

Согласно (1.3) распределение концентраций атомов можно определить формулой

$$\alpha_N \approx \frac{k_4 \alpha_{N_2}^x \alpha_O}{k_5 \alpha_{O_2} + k_4' \alpha_{NO}} = \frac{4 \exp(-35/\vartheta_2) \exp(-d\alpha_O) \cdot \alpha_O}{\alpha_{O_2} + \exp(3/\vartheta) \cdot \alpha_{NO}} \quad (3.4)$$

$(d = 230/\vartheta_2^2)$

Если $\alpha_{O_2} \approx (\alpha_{O_2})_0 \gg \alpha_{NO}$, то (3.4) переходит в формулу



Фиг. 3. Распределения концентраций α_0 , α_N , α_{NO} за фронтом волны, рассчитанные соответственно по формулам (3.6) и (3.5). $\alpha_{NO} = \alpha_{NO}^x$ при $T_2 = 10000^\circ \text{K}$, $p_1 = 1 \text{ mm}$, $T_1 = 300^\circ \text{K}$. Пунктирные кривые заимствованы из [1]

12.6 α_N . Концентрацию α_N^* можно определить теперь как функцию α_{O_2} по формуле (1.3)

$$\alpha_N \approx \frac{k_4 (\alpha_{N_2})_0 2 [(\alpha_{O_2})_0 - \alpha_{O_2}]}{k_5 \alpha_{O_2} + k_4' \alpha_{NO}^x} \quad (3.5)$$

Экспоненту $\exp(-59/\vartheta)$ преобразуем следующим образом

$$\exp(-59/\vartheta) = \exp(-59/\vartheta'_2 + b\alpha_{O_2} - c\alpha_N)$$

$(b = 780/(\vartheta'_2)^2, c = 740/(\vartheta'_2)^2)$

$$\alpha_N = 4 \exp(-35/\vartheta_2) \cdot \exp(-d\alpha_O) \frac{\alpha_O}{(\alpha_{O_2})_0}$$

согласно которой α_N как функция α_O (и, следовательно, как функция времени t) имеет максимум при $\alpha_O = 1/d$.

Для достаточно больших t , когда $\alpha_{NO} \approx \alpha_{NO}^x$ в (3.4), можно положить $\alpha_{NO} = \alpha_{NO}^x$. Вывод о существовании максимума α_N в качественном и количественном отношении хорошо согласуется с результатами расчетов [1] (см. фиг. 1).

Изложенная трактовка окисления азота, в которой пренебрегается диссоциацией N_2 , применима, как показывает сравнение с численными расчетами, для температур $\vartheta_2 \gtrsim 7$. При более высоких температурах необходимо учитывать диссоциацию азота, влияние которой можно оценить следующим приближенным образом. Запишем формулу (1.8) для T в виде

$$\vartheta = \vartheta'_2 + 13\alpha_{O_2} - 12.6\alpha_N$$

$$\vartheta'_2 = \vartheta_2 - 13(\alpha_{O_2})_0 = \vartheta_2 - 2.7$$

и будем считать величину ϑ'_2 большой по сравнению с величинами $13\alpha_{O_2}$ и $12.6\alpha_N$. Концентрацию α_N^* можно определить теперь как функцию α_{O_2} по формуле (1.3)

Решение (1.4) для начальной стадии процесса записывается в виде

$$k_{10} n_2 t = - \int_{(\alpha_{O_2})_0}^{\alpha_{O_2}} \frac{\exp[-b\alpha_{O_2} + c\alpha_N(\alpha_{O_2})]}{\alpha_{O_2}} d\alpha_{O_2}, \quad k_{10} = 10^{-8} \exp(-59/\vartheta_2)$$

Интегрируя по частям, т. е.

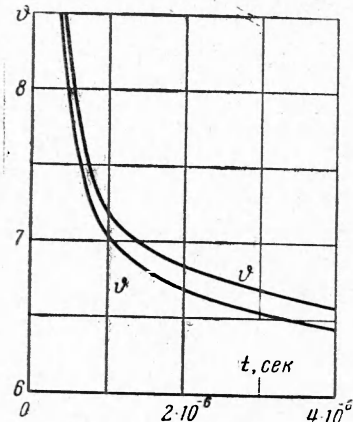
$$k_{10} n_2 t = \exp(c\alpha_N) \int_{\alpha_{O_2}}^{(\alpha_{O_2})_0} \frac{\exp(-b\alpha_{O_2})}{\alpha_{O_2}} d\alpha_{O_2} - \\ - \int_{\alpha_{O_2}}^{(\alpha_{O_2})_0} c \exp(c\alpha_N) \frac{d\alpha_N/dt}{d\alpha_{O_2}/dt} \left(\int_{\alpha_{O_2}}^{(\alpha_{O_2})_0} \frac{\exp(-b\alpha_{O_2})}{\alpha_{O_2}} d\alpha_{O_2} \right) d\alpha_{O_2}$$

и пользуясь предположением о квазистационарности $d\alpha_N/dt = 0$, получим

$$t = \frac{1}{k_{10} n_2} e^{c\alpha_N(\alpha_{O_2})} [\text{Ei}(-b\alpha_{O_2}) - \text{Ei}(-b(\alpha_{O_2})_0)] \quad (3.6)$$

Расчеты по формулам (3.5), (3.6) для $T_2 = 10000^\circ \text{K}$, $p_1 = 1 \text{ mm}$ и сопоставление с результатами численного расчета из [1] приведены на фиг. 3, 4. Согласие следует считать вполне удовлетворительным.

Фиг. 3, 4. Распределение температур за фронтом волны при $T = 10000^\circ \text{K}$, $p_1 = 1 \text{ mm}$, $T_1 = 300^\circ \text{K}$, найденное по формулам $\hat{v} = \hat{v}_0 - 2.7 + 13\alpha_{O_2} - 12.6\alpha_N$, (3.6), (3.5). Нижняя кривая заимствована из [1]



Резюмируя итоги приведенных расчетов, можно сказать, что предложенная здесь простая трактовка окисления азота в прямой ударной волне, основанная на использовании схемы Зельдовича А, и предположении о квазистационарном характере изменения концентраций атомов азота позволяют получить полное в количественном и качественном отношении описание процесса в весьма широком диапазоне температур за фронтом волны, удовлетворяющих условию $T_2 \leq 10000^\circ \text{K}$.

Поступила 25 VII 1961

ЛИТЕРАТУРА

- Duff R., Davidson N., J. Chem. Phys., 1959, t. 31, стр. 1018, Calculation of reaction profiles behind steady state shock waves, J. Chem. Phys., 1959, vol. 31, № 4, p. 1018.
- Seldowitch J. B. Kinetics of Nitrogen Oxidation, Acta Physicoch. URSS, 1946, vol. 21, № 2, p. 577.
- Semenov N. N. Kinetics of Complex Homogeneous Reactions, Acta Physicoch. URSS, 1943, vol. 18, № 6, p. 433.
- Саясов Ю. С. и Васильева А. Б. Обоснование и условия применимости метода квазистационарных концентраций Семенова-Боденштейна, ЖФХ, 1955, т. 29, вып. 5, стр. 802.
- Ландад Л. И. Физика. ГИТТЛ, 1951.
- Райзер Ю. П. Образование окислов азота в ударной волне при сильном взрыве в воздухе. ЖФХ, 1959, т. 38, вып. 3, стр. 1006.
- Азатян А. Н., Вододский В. В., Налбандян А. Б. Определение константы скорости реакции атомарного кислорода с молекулярным водородом. ДАН СССР, 1960, т. 132, № 4.
- Кузнецова Н. М. Структура ударной волны в воздухе с учетом кинетики химических реакций. Инженерно-физический журнал, 1960 т. 3, № 1, стр. 17.
- Lin S., Fife W. Strong shock waves structure in the air, Phys. Fluids, 1961, vol. IV, № 2, p. 238.